

УДК 546.831'64'723-31-543.429.3

МЕССБАУЭРОВСКОЕ ИССЛЕДОВАНИЕ ТЕТРАГОНАЛЬНЫХ ТВЕРДЫХ РАСТВОРОВ В СИСТЕМЕ $ZrO_2-Y_2O_3-Fe_2O_3$

© 2004 г. А. Г. Белоус*, Е. В. Пашкова*, А. Н. Макаренко*, В. П. Иваницкий**,
О. И. Вьюнов*, А. В. Рагуля***

* Институт общей и неорганической химии им. В.И. Вернадского Национальной академии наук Украины, Киев

** Институт геохимии, минералогии и рудообразования Национальной академии наук, Украины, Киев

*** Институт проблем материаловедения им. И.Н. Францевича

Национальной академии наук Украины, Киев

Поступила в редакцию 04.11.2003 г.

Исследованы мессбауэровские спектры тетрагональных твердых растворов $Zr_{0.886}Y_{0.057}Fe_{0.057}O_{2-\delta}$, полученных прокаливанием совместно (СОГ) и последовательно (ПОГ) осажденных гидроксидов соответствующих металлов, непосредственно после прокаливания и после длительного старения. Идентифицированы неэквивалентные положения ионов Fe^{3+} : два (с октаэдрической координацией) для СОГ и три (с октаэдрической, пятерной и тетраэдрической координацией) для ПОГ. Показано, что частичное замещение ионов Y^{3+} на Fe^{3+} способствует исключению или существенному замедлению низкотемпературной деградации структуры стабилизированного диоксида циркония.

ВВЕДЕНИЕ

Система $ZrO_2-Y_2O_3-Fe_2O_3$ имеет большое практическое значение, так как на ее основе разрабатывают перспективные материалы для высокопрочной керамики [1, 2] и твердых электролитов [3–6]. Частичное замещение ионов Y^{3+} на Fe^{3+} в бинарной системе $ZrO_2-Y_2O_3$ способствует значительному снижению температуры спекания ZrO_2 -керамики [3, 5] и, следовательно, формированию мелкозернистой микроструктуры, что очень важно для получения высоких прочностных характеристик конструкционной керамики. Известно, что твердые растворы (ТР) в системе $ZrO_2-Y_2O_3$ рассматриваются как ТР замещения с вычитанием (ионы Y^{3+} замещают Zr^{4+} в структуре ZrO_2 , при этом заряд компенсируется кислородными вакансиями) [7, 8].

По мнению авторов [6, 9, 10] ТР в системе $ZrO_2-Fe_2O_3$ не образуются, в то время как в [11, 12] показано ограниченное (незначительное) растворение Fe_2O_3 в ZrO_2 . Авторы [6, 10] указывают на растворимость третьего компонента (Fe_2O_3 , Sc_2O_3) в системе $ZrO_2-Y_2O_3$, а также на прямую зависимость растворимости от исходного содержания стабилизирующего оксида Y_2O_3 . Такая зависимость объясняется наличием (и количеством) кислородных вакансий в ТР на основе ZrO_2 и образованием комплексов типа примесный катион-вакансия [10]. Нелинейный характер температурной зависимости проводимости ТР на основе ZrO_2 авторы [13] связывают с взаимодействием кислородных вакансий и модифицирующих катионов. Исследование взаимодействия дефектов кристаллической решетки и локального окружения

стабилизирующего катиона в ТР на основе ZrO_2 посвящены работы [12–17]. Подобные исследования для железосодержащих систем весьма ограничены [11, 12, 18].

В [11, 12] исследованы мессбауэровские спектры (МС) системы $ZrO_2-Fe_2O_3$. В [11] установлено, что продуктами термических превращений являются: $\alpha-Fe_2O_3$, ZrO_2 , Fe^{3+} в суперпарамагнитном состоянии и ионы Fe^{3+} , растворенные в диокside циркония. На наш взгляд, значения мессбауэровских параметров резонансных дублетов последних двух фаз, содержащих Fe^{3+} , не корректны, поскольку не содержат привязки к стандартным калибровкам, а соответствие дублетов резонансного поглощения диагностируемым фазам неоднозначно. По результатам МС [12] железосодержащая кубическая фаза ZrO_2 , формируемая при 770 и 1020 К и некоторых фиксированных концентрациях железа, описывается квадрупольным дублетом с параметрами, характерными для высокоспинового Fe^{3+} в искаженном октаэдрическом окружении. С увеличением содержания железа и температуры прокаливания образцов указанный дублет претерпел трансформацию в синглет, что может быть связано или с фазовыми превращениями в системе, или с изменениями в координационном полиэдре Fe^{3+} . Однако авторы [12] не приводят значения параметров парамагнитной компоненты, что не позволяет однозначно интерпретировать МС.

Неопределенность представлений о реальной структуре и природе ТР в системе $ZrO_2-Y_2O_3-Fe_2O_3$, в частности, указывает на необходимость исследований МС. Это позволит расширить и уточнить

информацию о локальном окружении ионов Fe^{3+} и взаимодействии дефектов кристаллической решетки (легирующих катионов и кислородных вакансий). Чтобы исключить неоднозначность при интерпретации МС, обусловленную присутствием двух или трех фаз при частичной стабилизации ZrO_2 , целесообразно исследовать МС полностью стабилизированного ZrO_2 (однофазных ТР). Для исследования выбраны однофазные образцы состава $0.94\text{ZrO}_2 \cdot 0.03\text{Y}_2\text{O}_3 \cdot 0.03\text{Fe}_2\text{O}_3$, прокаленные при 1470 К, которые, согласно [19], имеют тетрагонально искаженную кристаллическую структуру типа CaF_2 , синтезированные двумя способами.

Известно, что стабилизированные оксидом иттрия ТР на основе ZrO_2 подвержены низкотемпературной деградации структуры, обусловленной тетрагонально-моноклинным превращением [20], поэтому целесообразно также исследовать тонкую структуру МС при старении образцов (после длительного хранения).

Целью данной работы является исследование МС тетрагональных ТР $0.94\text{ZrO}_2 \cdot 0.03\text{Y}_2\text{O}_3 \cdot 0.03\text{Fe}_2\text{O}_3$ ($\text{Zr}_{0.886}\text{Y}_{0.057}\text{Fe}_{0.057}\text{O}_{2-\delta}$), синтезированных при различных условиях, до и после длительного хранения.

МЕТОДИКА ЭКСПЕРИМЕНТА

Образцы состава $\text{Zr}_{0.886}\text{Y}_{0.057}\text{Fe}_{0.057}\text{O}_{2-\delta}$ получали прокаливанием гидроксидных осадков $\text{ZrO}(\text{OH})_2$, $\text{Y}(\text{OH})_3$, FeOOH , осажденных из концентрированных растворов ZrOCl_2 , $\text{Y}(\text{NO}_3)_3$ и $\text{Fe}(\text{NO}_3)_3$ раствором аммиака двумя способами: совместным (СОГ) и последовательным (ПОГ). По методу ПОГ на соосажденные $\text{ZrO}(\text{OH})_2$ и FeOOH осаждали $\text{Y}(\text{OH})_3$. От маточного раствора осадки отмывали дистиллированной водой до отсутствия в промывных водах ионов Cl^- и NO_3^- и сушили при 350 К. Прокаливание проводили в камерной печи при 1470 К. Образцы, полученные методом ПОГ, исследовали как непосредственно после прокаливания, так и после хранения в атмосферных условиях в течение двух лет. Рентгеновские исследования проводили на дифрактометре ДРОН 4-07 (Сок K_α -излучение, 40 кВ, 18 мА). Для рентгенофазового анализа использовали базу данных JCPDS. Уточнение структурных параметров проводили методом полнопрофильного анализа Ритвельда с использованием компьютерной программы FullProf. Съемку дифрактограмм проводили в интервале углов $2\theta = 10^\circ - 150^\circ$ в дискретном режиме с шагом $\Delta\theta = 0.02^\circ$ и экспозицией в каждой точке 10 с. В качестве внешних стандартов использовали SiO_2 (стандарт 2θ) и сертифицированный стандарт интенсивности Al_2O_3 [21]. Мессбауэровские спектры образцов получали на спектрометре электродинамического типа, работающем в режиме постоянных ускорений, с источником γ -квантов ^{57}Co в матрице Rh. Измерения выполняли при комнат-

ной температуре. Калибровки шкалы скоростей в магнитном и расширенном по масштабу регистрации парамагнитном диапазонах измерения выполняли с помощью $\alpha\text{-Fe}$ и нитропрусида натрия соответственно (для приведения значений изомерных сдвигов, указанных относительно $\alpha\text{-Fe}$, к изомерным сдвигам относительно нитропрусида натрия необходимо к первому значению добавить 0.258 мм/с). Изомерные сдвиги для спектров каждого из диапазонов приводили относительно использованных калибровок.

Содержание железа определяли на атомно-абсорбционном спектрометре SP 9 фирмы Pye Unicam ($\lambda = 248.3$ нм, ширина щели 0.2 нм, пламя – ацетилен + воздух). Содержание циркония и иттрия находили по “фторидной схеме” [22]. Кроме того, содержание циркония определяли по методике, описанной в [23].

РЕЗЛТЫ И ИХ ОБСУЖДЕНИЕ

Рентгенографические исследования показали, что образцы $\text{Zr}_{0.886}\text{Y}_{0.057}\text{Fe}_{0.057}\text{O}_{2-\delta}$ при обоих способах осаждения (СОГ и ПОГ) характеризуются структурой типа CaF_2 с тетрагональными искажениями кристаллической решетки (пр. гр. $P4/nmc(137)$) (рис. 1, табл. 1). Все исследуемые образцы содержат следовые количества фазы $\alpha\text{-Fe}_2\text{O}_3$ (на рис. 1 показана стрелками). Результаты химического анализа исследуемых образцов (табл. 2) подтвердили соответствие фактического состава заданному (в пределах погрешности анализов).

МС образцов $\text{Zr}_{0.886}\text{Y}_{0.057}\text{Fe}_{0.057}\text{O}_{2-\delta}$ СОГ и ПОГ, полученные в магнитном диапазоне, показаны на рис. 2, а их параметры – в табл. 3. Как видно из рис. 2, спектры обоих образцов представлены суммацией секстета зеемановского расщепления, параметры которого согласуются с опубликованными для гематита [24, 25], и дублета квадрупольного расщепления, параметры которого характерны для высокоспиновых ионов Fe^{3+} в октаэдрической координации. Значения параметров секстета $\alpha\text{-Fe}_2\text{O}_3$ близки к таковым для массивного магнитоупорядоченного гематита, что указывает на отсутствие заметной растворимости других катионов системы в структуре гематита. Обычно такие замещения сопровождаются уменьшением H_{eff} . Следует отметить, что присущие в спектрах дублеты описываются несимметричными по интенсивности и ширине линиями поглощения. Параметры дублетов близки к наблюдаемым в работе [12], в которой аналогичный дублет связывается с растворением Fe^{3+} в ZrO_2 .

Асимметричный характер линий поглощения и большие значения Γ свидетельствуют о присутствии парамагнитных ионов Fe^{3+} в двух и более фазах или в нескольких неэквивалентных позициях, отличающихся характером анионного и ка-

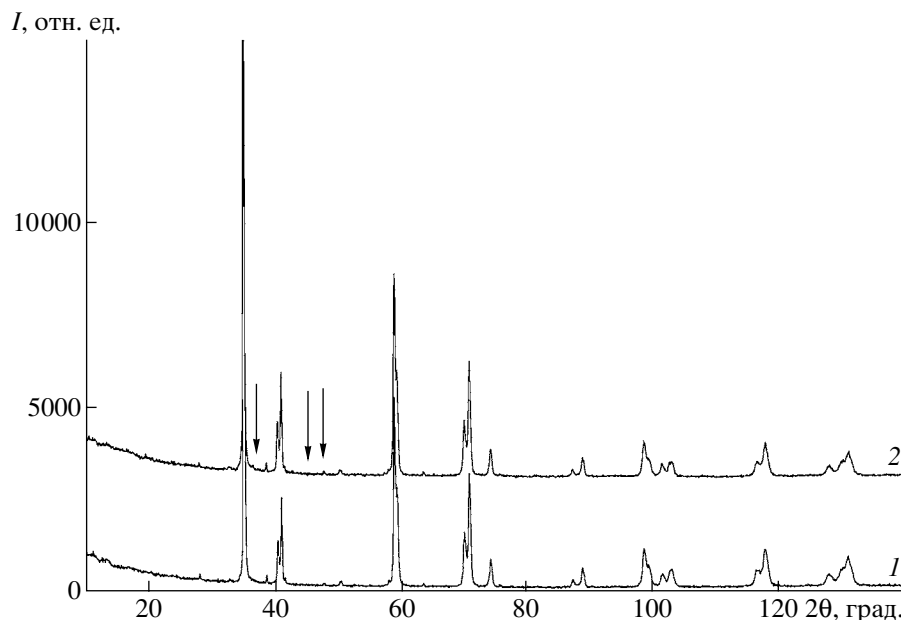


Рис. 1. Дифрактограммы образцов $Zr_{0.886}Y_{0.057}O_{2-\delta}$: 1 – СОГ; 2 – ПОГ.

тионного окружения. Если же дублеты связаны только с одной из фаз (тетрагональной в нашем случае и кубической в [12]), то асимметрия линий поглощения может быть обусловлена наличием нескольких неэквивалентных позиций ионов Fe^{3+} , а большие значения Γ – неоднородностью катионного окружения ионов Fe^{3+} . Процедура математического разделения линий, являющихся суммой нескольких компонент, отстоящих друг от друга на величину менее Γ , как показано в [26], некорректна, что уже исключает однозначность их интерпретации. Критерием достоверности разрешения таких спектров является удовлетворительное значение параметров корреляции. Достоверным в результатах обработки данных спектров является определение относительных количеств Fe^{3+} , представленных в магнитной и парамагнитной фазах, и констатация множества неэквивалентных позиций парамагнитных ионов Fe^{3+} .

Для увеличения разрешающих возможностей спектра, уменьшения ошибок эксперимента и объяснения характера асимметрии линий дублета, нами были получены спектры в парамагнитном диапазоне измерений, разрешающие возможности которого более чем в 3 раза выше использованного нами магнитного диапазона. Это позволило нам более детально расшифровать структуру дублетов Fe^{3+} (рис. 3). Параметры разрешенных компонент спектров приведены в табл. 4. На спектрах исследуемых образцов хорошо разрешаются две внешние линии, центры которых на шкале скоростей расположены на -0.56 и 2.05 мм/с, что соответствует положениям внутренних третьей и четвертой линий секстета зеемановского расщепления

гематита (рис. 2). Для удобства разделения спектра и последующих расчетов относительных вкладов компонент в суммарный спектр эти две линии представлены дублетом квадрупольного

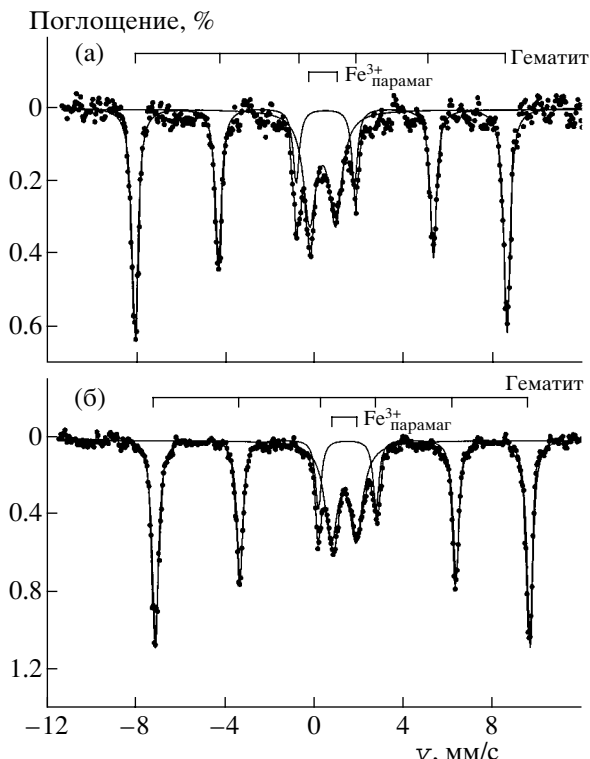


Рис. 2. Мессбауэровские спектры образцов $Zr_{0.886}Y_{0.057}O_{2-\delta}$, полученных на магнитном диапазоне: а – СОГ; б – ПОГ.

Таблица 1. Структурные параметры образцов $Zr_{0.886}Y_{0.057}Fe_{0.057}O_{2-\delta}$ СОГ и ПОГ

Образец	СОГ	ПОГ
a , Å	3.60562(9)	3.60628(9)
c , Å	5.1693(2)	5.1690(2)
V , Å ³	67.203(3)	67.224(3)
$c/\sqrt{2}a$	1.011(1)	1.013(1)
Температурные параметры B , Å ²		
Zr	0.90(2)	0.08(2)
Y	0.90(2)	0.08(2)
Fe	0.90(2)	0.08(2)
O	2.2(2)	1.6(2)
Заселенность позиции		
Zr	0.926	0.925
Y	0.058	0.058
Fe	0.016	0.017
O	1.80(2)	1.87(3)
Факторы достоверности		
R_B , %	2.30	3.19
R_F , %	2.73	2.33
Напряжение кристаллической решетки		
η , %	8.7(1)	9.6(1)

Примечание. Расстояние Zr–O составляет 2.218 Å.

расщепления с линиями, описываемыми равными значениями интенсивностей и Г. Содержание железа определяли по площадям выделенных компонент, исходя из предположения о равенстве коэффициентов резонансного поглощения Fe³⁺ во всех существующих структурных позициях и подчинении интенсивностей линий секстета гематита соотношению 3 : 2 : 1 : 1 : 2 : 3. Тогда вклад внутренних 3- и 4-й линий секстета, видимых на рис. 3, составляет шестую часть от общей его площади. Умножая полученное значение S внут-

ренних линий гематита на 6 и прибавляя это произведение к площадям парамагнитных компонент, получаем значение площади, соответствующей резонансному поглощению γ -квантов на ядрах всех ионов Fe³⁺, содержащихся в образцах. Относительный вклад каждой из компонент МС (S_0 , %) рассчитывается исходя из этой суммы (табл. 4). Как видно из сопоставления данных табл. 3 и 4, для обоих образцов вклады магнитной и суммы парамагнитных компонент Fe³⁺ в пределах ошибок эксперимента не изменяются при переходе от одной шкалы измерений к другой.

Визуально воспринимаемые особенности огибающих внутренних линий спектров (рис. 3) (наличие асимметрии линий по интенсивности и ширине, а также их перегибов) позволило выделить в спектрах образца СОГ два дублета – Fe₁³⁺ и Fe₂³⁺, а в спектрах образцов ПОГ три дублета – Fe₁³⁺, Fe₂³⁺ и Fe₃³⁺.

Из табл. 4 следует, что в исследуемых образцах тетрагонального диоксида циркония растворяется $\approx 30\%$ Fe³⁺ от введенного количества. На формирование фазы α -Fe₂O₃ идет ≈ 70 Fe³⁺. В [12] с помощью электронной микроскопии показано, что в материалах системы ZrO₂–Fe₂O₃ существуют области преимущественного содержания каждого из структурообразующих катионов, т.е. наблюдается кластерный характер распределения циркония и железа. Наличие таких образований подтверждено в [18], где в образцах $Zr_{0.907}Fe_{0.093}O_{1.953}$, полученных прокаливанием при 670 и 970 К со-осажденных гидроксидов циркония и железа, были обнаружены кластеры с разупорядоченной структурой и размерами 1–1.5 нм. В [14, 17] показано, что в ТР на основе ZrO₂ с гетеровалентным типом замещения имеет место взаимодействие дефектов типа примесный катиония–вакансия с образованием как простых, так и сложных по составу и структуре ассоциатов или, по определению [27], кластеров. Как правило, кластеры расположены в объеме кристаллитов ZrO₂ и реже в поверхностных областях. Наличие кластеров

Таблица 2. Результаты химического анализа образцов $Zr_{0.886}Y_{0.057}Fe_{0.057}O_{2-\delta}$ СОГ и ПОГ

Определяемый оксид	Состав, мас. %			
	заданный	фактический	заданный	фактический
	СОГ		ПОГ	
ZrO ₂ *	90.93	91.2	90.93	91.2
ZrO ₂ **		90.7		90.7
Y ₂ O ₃	5.31	5.3	5.31	5.3
Fe ₂ O ₃	3.76	3.4	3.76	3.4

* Определение по методике [22]. ** Определение по методике [23].

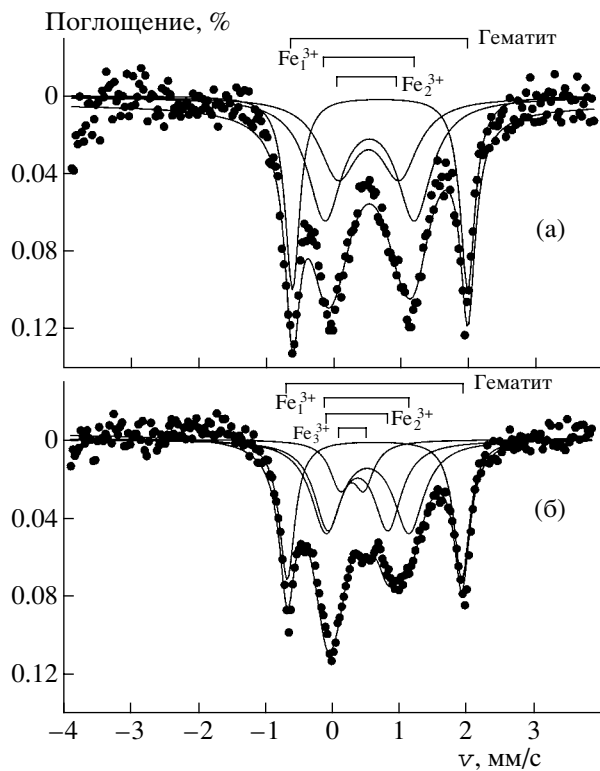


Рис. 3. Мессбауэровские спектры образцов $Zr_{0.886}Y_{0.057}Fe_{0.057}O_{2-\delta}$, полученные в парамагнитном диапазоне: а – СОГ; б – ПОГ.

приводит к образованию дефектов структуры ZrO_2 в виде дислокаций либо искривлений плоскостей кристаллической решетки [27].

Результаты, представленные на рис. 3 и в табл. 4, позволяют в соответствии с числом разрешенных дублетов идентифицировать в ТР $Zr_{0.886}Y_{0.057}Fe_{0.057}O_{2-\delta}$ образцов СОГ и ПОГ два и три неэквивалентных положения ионов Fe^{3+} соответственно. Очевидно, что различные варианты расположения вакансий в первой координационной сфере и катионов Zr, Y и Fe – во второй, а также изменение их количественных соотношений приводят к формированию неэквивалентного окружения ионов Fe^{3+} .

Как следует из табл. 4, параметры МС образцов ПОГ после двухлетнего хранения на воздухе практически не изменяются (образцы 2 и 2*). Это свидетельствует об отсутствии или значительном замедлении низкотемпературной деградации структуры диоксида циркония в системе $ZrO_2-Y_2O_3-Fe_2O_3$, которая характерна для бинарной системы $ZrO_2-Y_2O_3$ [20].

При интерпретации МС значение КР может быть принято в качестве меры искажения координационных полиэдров, отклонения их симметрии от кубической. Каждое изменение искажений координационных полиэдров ведет к соответст-

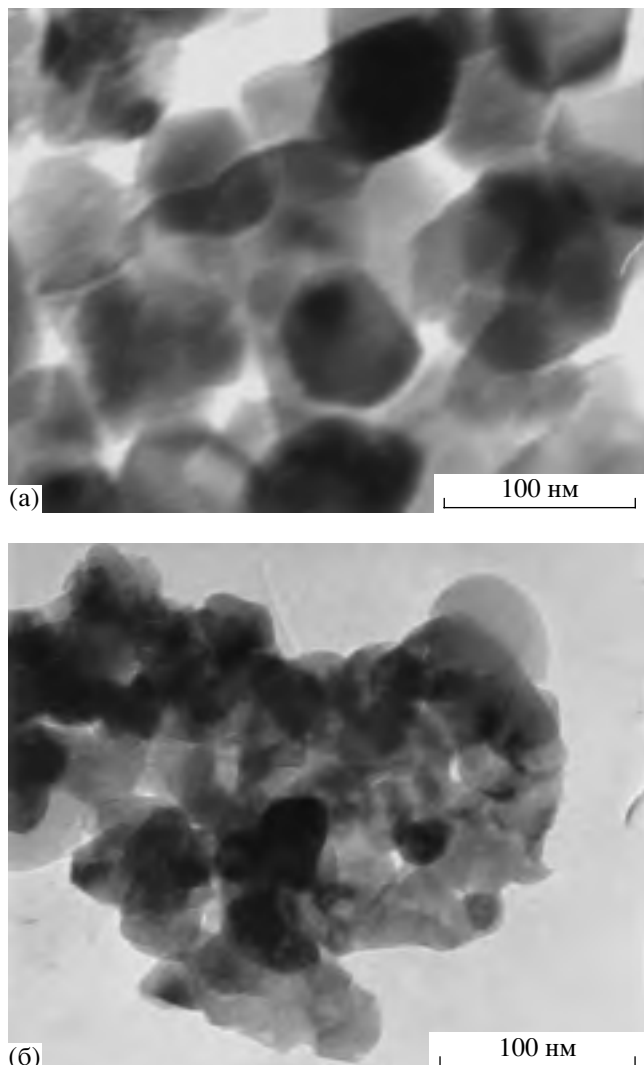


Рис. 4. Микрофотографии образцов $Zr_{0.886}Y_{0.057}Fe_{0.057}O_{2-\delta}$, прокаленных при 1470 К: а – СОГ; б – ПОГ.

вующим вариациям КР. Значение ИС может быть связано с координацией ионов Fe^{3+} . Согласно [28, 29], уменьшение (увеличение) координационного числа резонансных ионов обычно приводит к уменьшению (увеличению) значений ИС, что обусловлено увеличением (уменьшением) ковалентной связи по 4s-орбиталам вследствие уменьшения (увеличения) расстояния катион–кислород. Неприемлемость для Fe^{3+} координации с к. ч., равным 8, которая свойственна для базового катиона Zr^{4+} в тетрагональном и кубическом ZrO_2 , связана не только с меньшим ионным радиусом $Fe_{k.ch.6}^{3+}$ (0.0645 нм) по сравнению с Zr^{4+} (0.084 нм) [30], но и со стремлением кристаллической решетки к электронейтральности. Нейтрализация отрицательного заряда решетки при замещении $2Zr^{4+} \rightarrow 2Fe^{3+}$

Таблица 3. Параметры мессбауэровских спектров образцов $Zr_{0.886}Y_{0.057}Fe_{0.057}O_{2-\delta}$, полученных в магнитном диапазоне измерений

Образец	Ион, фаза	$H_{\text{эфф}}$, кА/м	ИС, мм/с	КР, мм/с	Γ , мм/с	S , %
1 (СОГ)	Гематит	41120	0.38	0.22	0.36	70.3
	$Fe_{\text{парамаг}}^{3+}$	0	0.33	1.07	0.86	29.7
2 (ПОГ)	Гематит	41200	0.37	0.23	0.32	68.3
	$Fe_{\text{парамаг}}^{3+}$	0	0.37	1.08	0.90	31.7

Примечание. $H_{\text{эфф}}$ – эффективное магнитное поле, ИС – изомерный сдвиг относительно α -Fe, КР – квадрупольное расщепление, Γ – ширина линии поглощения на половине высоты, S – относительная площадь компоненты; погрешности измерений ИС, КР и Γ – ± 0.04 мм/с, $H_{\text{эфф}}$ – ± 400 кА/м, S – $\leq 10\%$.

Таблица 4. Параметры мессбауэровских спектров образцов $Zr_{0.886}Y_{0.057}Fe_{0.057}O_{2-\delta}$, полученных в парамагнитном диапазоне измерений

Образец	Ион, фаза	ИС, мм/с	КР, мм/с	Γ , мм/с	S , %	S_o , %
1 (СОГ)	Гематит	0.76	2.60	0.27	30.5	72.5
	Fe_1^{3+}	0.64	1.33	0.54	42.0	16.6
	Fe_2^{3+}	0.63	0.84	0.53	27.5	10.9
2 (ПОГ)	Гематит	0.75	2.60	0.25	26.6	68.5
	Fe_1^{3+}	0.66	1.21	0.55	36.5	15.7
	Fe_2^{3+}	0.52	0.92	0.46	26.2	11.2
2* (ПОГ)	Fe_3^{3+}	0.43	0.40	0.37	10.7	4.6
	Гематит	0.75	2.61	0.29	29.8	71.8
	Fe_1^{3+}	0.66	1.18	0.52	34.0	13.7
	Fe_2^{3+}	0.49	0.94	0.62	26.4	10.6
	Fe_3^{3+}	0.40	0.44	0.42	9.8	3.9

Примечание. Обозначения те же, что в табл. 1; S_o – площади компонент, приведенные по отношению к шестилинейному спектру гематита; ИС приведены по отношению к нитропрусиду натрия; погрешности измерений ИС, КР и Γ – ± 0.03 мм/с, S – $\leq 10\%$. * Образец 2, выдержаный при комнатных условиях в течение двух лет.

обеспечивается удалением одного иона O^{2-} из состава анионного полизэдра. Уменьшение межатомных расстояний в кислородном полизэдре при частичном замещении ионов Y^{3+} на Fe^{3+} ($R_{Y_{\text{к.ч.6}}^{3+}} = 0.1015$ нм, $R_{Fe_{\text{к.ч.6}}^{3+}} = 0.06457$ нм) [30] усиливает электростатическое отталкивание ионов кислорода [31], что способствует формированию октаэдрической координации ионов Fe^{3+} .

Учитывая результаты [12, 18], где при исследовании системы $ZrO_2-Fe_2O_3$ с помощью электронной микроскопии высокого разрешения были обнаружены кластеры, наличие нескольких дублетов в МС образцов $Zr_{0.886}Y_{0.057}Fe_{0.057}O_{2-\delta}$ с различным значением их площадей (табл. 4) можно

объяснить кластерным характером распределения железа в ТР $ZrO_2-Y_2O_3-Fe_2O_3$. По мнению [32], это характерно для материалов со сложной структурой при ионных замещениях в катионной или анионной подрешетках. Очевидно, что дублеты с различным значением площадей (табл. 4) отвечают ассоциатам (кластерам) с различным содержанием в них ионов Fe^{3+} и разным окружением резонансных ионов в ближайшей катионной сфере.

Исходя из анализа параметров спектров, дублеты Fe_1^{3+} , Fe_2^{3+} образца 1 и Fe_1^{3+} , Fe_2^{3+} , Fe_3^{3+} образцов 2 и 2* с высокой вероятностью можно связать с наличием в ТР $Zr_{0.886}Y_{0.057}Fe_{0.057}O_{2-\delta}$ положений Fe^{3+} с к. ч., равным 6 (ИС = 0.63–0.66; КР = 0.84–1.33), 5 (ИС = 0.49–0.52; КР = 0.92–0.94) и

4 (ИС = 0.40–0.43; КР = 0.40–0.43) соответственно (табл. 4).

Пересчитанный катионный состав исследуемых образцов с учетом реального содержания в них железа по данным МС (табл. 4) был использован при уточнении заселенности кислорода методом Ритвельда (табл. 1). Фактический состав образцов СОГ и ПОГ отвечает формулам $Zr_{0.926}Y_{0.058}Fe_{0.016}O_{1.80}V_{0.20}$ и $Zr_{0.925}Y_{0.058}Fe_{0.017}O_{1.87}V_{0.13}$ соответственно. Большее содержание кислорода и более высокое значение напряжения кристаллической решетки в образцах ПОГ по сравнению с образцами СОГ (табл. 1), вероятно, связаны с тем, что при ПОГ образуются более мелкодисперсные порошки с развитой поверхностью (рис. 4), что способствует адсорбции кислорода. Это согласуется с результатами [33], где показано, что при отжиге вакансий в ZrO_2 на воздухе или при охлаждении прокаленных образцов происходит их окисление и заполнение кислородных вакансий.

ЗАКЛЮЧЕНИЕ

Исследованы МС тетрагональных твердых растворов $Zr_{0.886}Y_{0.057}Fe_{0.057}O_{2-\delta}$, полученных прокаливанием осадков СОГ и ПОГ. Идентифицированы неэквивалентные положения ионов Fe^{3+} : два (с октаэдрической координацией) для СОГ и три (с октаэдрической, пятерной и тетраэдрической) координацией для ПОГ. Показано, что частичное замещение ионов Y^{3+} на Fe^{3+} способствует стабильности тетрагональных ТР.

Методом рентгеновского полнопрофильного анализа Ритвельда уточнено содержание кислорода. Показано, что количество вакансий кислорода зависит от условий синтеза.

СПИСОК ЛИТЕРАТУРЫ

1. Дедов Н.В., Конасов В.А., Матюха В.А., Соловьев А.И. Керамика на основе плазмохимического диоксида циркония и ее свойства. Ультрадисперсные порошки, материалы и наноструктуры; получение, свойства, применение // Матер. межрегиональной конф. с междунар. участием. Красноярск, 1996. С. 126–127.
2. Гогози Г.А., Галенко В.И., Озерский Б.И. Трещинностойкость и другие характеристики керамики из частично стабилизированного диоксида циркония с добавкой оксида железа // Огнеупоры и техническая керамика. 1996. № 2. С. 2–8.
3. Караваев Ю.И., Бурмакин Е.И. Влияние добавок оксида железа на электропроводность твердых электролитов на основе тетрагонального диоксида циркония в системе $ZrO_2-Y_2O_3$ // Неорган. материалы. 1996. Т. 32. № 1. С. 66–70.
4. Matsui N., Takigawa H. Impedance on YSZ with Iron Oxide as Additive // Solid State Ionics. 1990. V. 40. № 41. P. 926–928.
5. Караваев Ю.И., Мартемьянова З.С., Зырянов В.Г. Влияние оксида железа на структуру твердых растворов системы $ZrO_2-Y_2O_3-Fe_2O_3$ // Неорган. материалы. 1995. Т. 31. № 7. С. 937–941.
6. Неуймин А.Д., Котляр А.Г., Пальгуев С.Ф. и др. Исследование структуры и электропроводности и ее характера в системе $ZrO_2 + Y_2O_3$ с добавками железа, марганца, кобальта, никеля // Тр. Ин-та электрохимии УФАН СССР. 1969. № 12. С. 92–95.
7. Стрекаловский В.Н., Полежаев Ю.М., Пальгуев С.Ф. Оксиды с примесной разупорядоченностью. М.: Наука, 1987. 156 с.
8. Чеботин В.Н., Перфильев М.В. Электрохимия твердых электролитов. М.: Химия, 1978. 312 с.
9. Escribe C., Van der Voort E. Energy Calculations of Generated by Dissolution of Cd and Fe in Monoclinic Zirconia // Phys. Status Solidi A. 1976. V. 36. № 1. P. 375–378.
10. Караваев Ю.И., Неуймин А.Д., Пальгуев С.Ф. Влияние оксидов железа, хрома, титана и РЗЭ на образование твердых растворов с кубической структурой в системе $ZrO_2-Sc_2O_3$ // Неорган. материалы. 1985. Т. 21. № 7. С. 1172–1175.
11. Тетерин Г.А., Менчук Е.М., Егоров Ф.К. и др. Кинетика взаимодействия оксидов в смесях $TiO_2-Fe_2O_3$ и $ZrO_2-Fe_2O_3$ // Укр. хим. журн. 1986. Т. 52. № 7. С. 696–700.
12. Berry F.J., Loretto M.H., Smith M.R. Iron-Zirconium Oxides: An Investigation of Structural Transformation by X-Ray Diffraction, Electron Diffraction and Iron-57 Mossbauer Spectroscopy // J. Solid State Chem. 1989. V. 83. № 1. P. 91–99.
13. Котляр А.Г., Неуймин А.Г., Пальгуев С.Ф. и др. Электрохимия расплавленных солей и твердых электролитов // Тр. Ин-та электрохимии УФАН СССР. 1970. № 16. 128 с.
14. Чусовитина Т.В., Торопов Ю.С., Рутман Д.С., Плиннер С.Ю. Взаимодействие дефектов в твердых растворах $0.90ZrO_2 \cdot 0.10M_2O_3$ // Изв. АН СССР. Неорган. материалы. 1986. Т. 22. № 6. С. 969–973.
15. Hashimoto Shinya, Iwasaki Hiroshi, Ogawa Shiro et al. A New Type of Ordered Arrangement of Interstitial Oxygen Atoms in the Solid Solution of the Zr-O System // J. Phys. Soc. Jpn. 1972. V. 32. № 4. P. 1146.
16. Стрекаловский В.Н., Макурин Ю.Н., Касимов Г.Г., Вовкотруб Э.Г. Исследование дегидратации и дефектообразования при получении оксидов со структурой флюорита // Изв. АН СССР. Неорган. материалы. 1986. Т. № 3. С. 2067–2070.
17. Воронько Ю.К., Зуфаров М.А., Соболь А.А., Цымбал Л.И. Селективная спектроскопия и локальное окружение Eu^{3+} в моноклинных твердых растворах систем $ZrO_2-Ln_2O_3$ и $HfO_2-Ln_2O_3$ // Неорган. материалы. 1996. Т. 32. № 10. С. 1213–1219.
18. Зюзин Д.А., Мороз Э.М., Иванова А.С., Зайковский В.И. Структурные особенности рентгеноаморфных железоциркониевых образцов // Неорган. материалы. 2000. Т. 36. № 4. С. 447–451.
19. Белоус А.Г., Пащкова Е.В., Макаренко А.Н. и др. Фазовые превращения при термообработке гидроксидов $ZrO(OH)_2$, $FeOOH$ и $Y(OH)_3$ // Неорган. материалы. 2001. Т. 37. № 3. С. 314–319.

20. Wang J., Stevens R. Preferred ZrO₂ (t)–ZrO₂ (m) Transformation on the Aged Surface of TZP Ceramics // J. Mater. Sci. Lett. 1989. V. 8. № 10. P. 1195–1198.
21. Certificate of Analysis: Standard Reference Material 1976, Instrument Sensitivity Standard for X – Ray Powder Diffraction. Gaithersburg: Natl. Inst. of Standards and Technology, 1991. P. 1–4.
22. Книпович Ю.Н., Марачевский Ю.В. Анализ минерального сырья. Изд. второе. Ленинград: Гос. науч.-техн. изд-во хим. лит-ры, 1956. 1055 с.
23. Реактивы. Комплексонометрический метод определения содержания основного вещества. ГОСТ 10398-76.
24. Kistner O.C., Sunyar A.W. Evidence for Quadrupole Interaction of Fe^{57m} and Influence of Chemical Binding on Nuclear Gamma-Ray Energy // Phys. Rev. Letters. 1960. V. 4. № 8. P. 412–415.
25. Shirane G., Cox D.E., Ruby S.L. Mossbauer Study of Isomer Shift, Quadrupole Interaction and Hyperfine Field in Several Oxides Containing Fe⁵⁷ // Phys. Rev. 1962. V. 125. № 4. P. 1158–1165.
26. Тихонов Ф.Н., Арсенин В.Я. Методы решения некорректных задач. М.: Наука, 1979. 285 с.
27. Вест А. Химия твердого тела. М.: Мир, 1988. С. 440–441.
28. Бенкрофт Г., Меддок А., Барнс Р. Применение эффекта Мессбауэра к минералогии силикатов: I. Силикаты железа с известной структурой // Физика минералов. М.: Мир, 1971. С. 179–204.
29. Бенкрофт Г., Барнс Р., Стоун А. Применение эффекта Мессбауэра к минералогии силикатов: II. Силикаты железа с неизвестной и сложной кристаллической структурой // Физика минералов. М.: Мир, 1971. С. 205–216.
30. Shannon R.D., Prewitt C.T. Effective Ionic Radii in Oxides and Fluorides // Acta Crystallogr., Sect. B. 1969. V. 25. P. 925–946.
31. Ольховик Г.А., Наумов И.И., Великохатный О.И., Апаров Н.Н. Электронная структура и оптические свойства стабилизированного иттрием ZrO₂ // Неорган. материалы. 1993. Т. 29. № 5. С. 636–640.
32. Шпак А.П., Куницкий Ю.А., Самойленко З.А. Самоорганизация структуры в материалах различной природы. Киев: Академкнига, 2002. 167 с.
33. Полежаев Ю.М., Микишевич М.В., Пилипенко Г.И., Лахов В.М. Образование и обжиг анионных дефектов при термическом разложении гидроокиси циркония в вакууме // Изв. АН СССР. Неорган. материалы. 1976. Т. 12. № 6. С. 1052–1056.